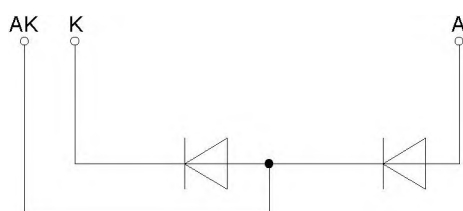
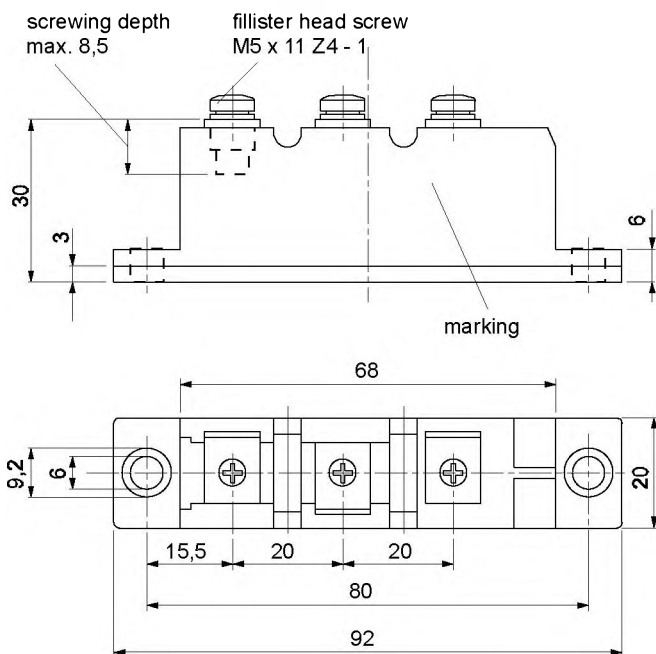




European Power-
Semiconductor and
Electronic Company

Marketing Information DD 61 N



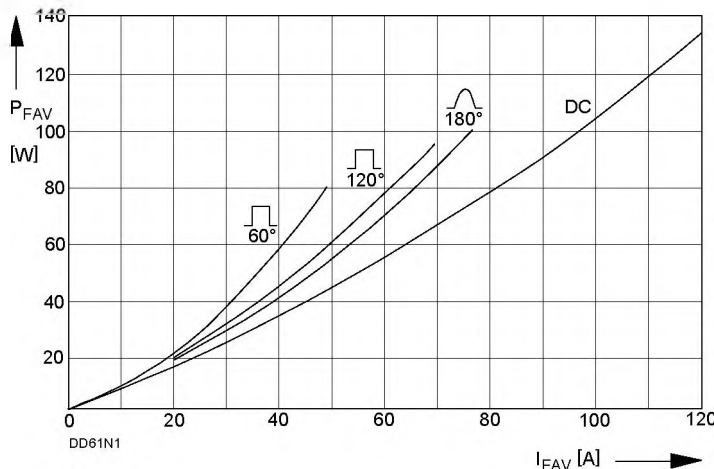
DD 61 N

Elektrische Eigenschaften						
Electrical properties						
Höchstzulässige Werte	Maximum rated values					
Periodische Spitzensperrspannung	repetitive peak reverse voltage	$t_{vj} = -40^{\circ}\text{C} \dots t_{vj\max}$		V_{RRM}	800 1200 1400 1600	V
Stoßspitzensperrspannung	non-repetitive peak reverse voltage	$t_{vj} = +25^{\circ}\text{C} \dots t_{vj\max}$		V_{RSM}	900 1300 1500 1700	V
Durchlaßstrom-Grenzeffektivwert	RMS forward current			I_{FRMSM}	120	A
Dauergrenzstrom	mean forward current	$t_c = 100^{\circ}\text{C}$ $t_c = 82^{\circ}\text{C}$		I_{FAVM}	61 76	A
Stoßstrom-Grenzwert	surge forward current	$t_{vj} = 25^{\circ}\text{C}, t_p = 10 \text{ ms}$ $t_{vj} = t_{vj\max}, t_p = 10 \text{ ms}$		I_{FSM}	1350 1200	A
Grenzlastintegral	$I^2 t$ -value	$t_{vj} = 25^{\circ}\text{C}, t_p = 10 \text{ ms}$ $t_{vj} = t_{vj\max}, t_p = 10 \text{ ms}$		$I^2 t$	9100 7200	$\text{A}^2 \text{s}$
Charakteristische Werte	Characteristic values					
Durchlaßspannung	forward voltage	$t_{vj} = t_{vj\max}, i_F = 230 \text{ A}$		V_F	max.	1,54 V
Schleusenspannung	threshold voltage	$t_{vj} = t_{vj\max}$		$V_{(TO)}$		0,75 V
Ersatzwiderstand	forward slope resistance	$t_{vj} = t_{vj\max}$		I_T		3,0 $\text{m}\Omega$
Sperrstrom	reverse current	$t_{vj} = t_{vj\max}, V_R = V_{RRM}$		i_R	max.	10 mA
Isolations-Prüfspannung	insulation test voltage	RMS, $f = 50 \text{ Hz}$, 1 min. RMS, $f = 50 \text{ Hz}$, 1 sec.		V_{ISOL}	3 KV ¹⁾ 3,6 KV ¹⁾	
Thermische Eigenschaften						
Thermal properties						
Innerer Wärmewiderstand	thermal resistance, junction to case	pro Modul/per module, $\Theta = 180^{\circ} \sin R_{thJC}$ pro Zweig/per arm, $\Theta = 180^{\circ} \sin R_{thCK}$		max.	0,34 °C/W 0,68 °C/W	
		pro Modul/per module, DC pro Zweig/per arm, DC		max.	0,32 °C/W 0,64 °C/W	
Übergangs-Wärmewiderstand	thermal resistance, case to heatsink	pro Modul/per module pro Zweig/per arm		max.	0,08 °C/W 0,16 °C/W	
Höchstzul. Sperrsichttemperatur	max. junction temperature			$t_{vj\max}$	150 °C	
Betriebstemperatur	operating temperature			$t_{c\text{ op}}$	-40...+150 °C	
Lagertemperatur	storage temperature			t_{sig}	-40...+150 °C ²⁾	
Mechanische Eigenschaften						
Mechanical properties						
Gehäuse, siehe Seite	case, see page					1
Si-Elemente mit Lötkontakt, glaspassiviert	Si-pellet with soldered contact, glass-passivated					
Innere Isolation	internal insulation					Al_2O_3
Anzugsdrehmoment für mechanische Befestigung	mounting torque	Toleranz/tolerance +/- 15%		M1	4	Nm
Anzugsdrehmoment für elektrische Anschlüsse	terminal connection torque	Toleranz/tolerance +5%/-10%		M2	4	Nm
Gewicht	weight			G	typ.	125 g
Kriechstrecke	creepage distance					12,5 mm
Schwingfestigkeit	vibration resistance	$f = 50 \text{ Hz}$				50 m/s^2

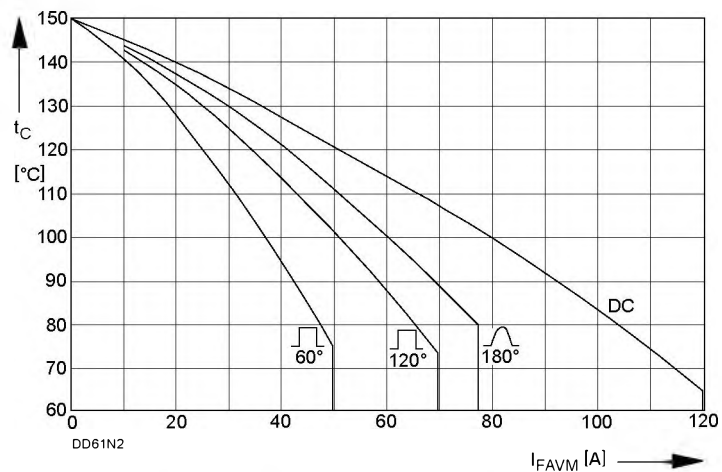
Kühlkörper / heatsinks: KP 0,5 S; KP 0,41 S; KP 0,35 S; KP 0,33 S

¹⁾ nur gültig für 4.Kennbuchstaben L / only valid with 4th letter L

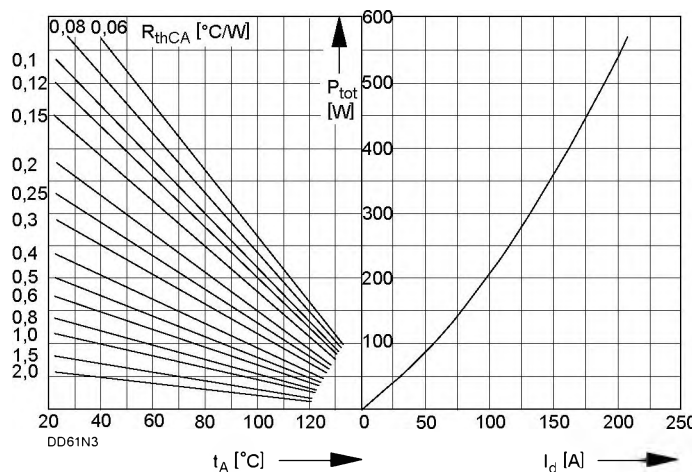
²⁾ Gemäß DIN IEC 749 mit 747-1 gilt eine Zeitbegrenzung von 672 h. Für die im Betrieb auftretende Gehäusetemperatur gilt keine zeitliche Begrenzung. / According to DIN IEC 749 with 747-1 a time-limit of 672 h is defined. There is no time-limit set for case temperature during operation.



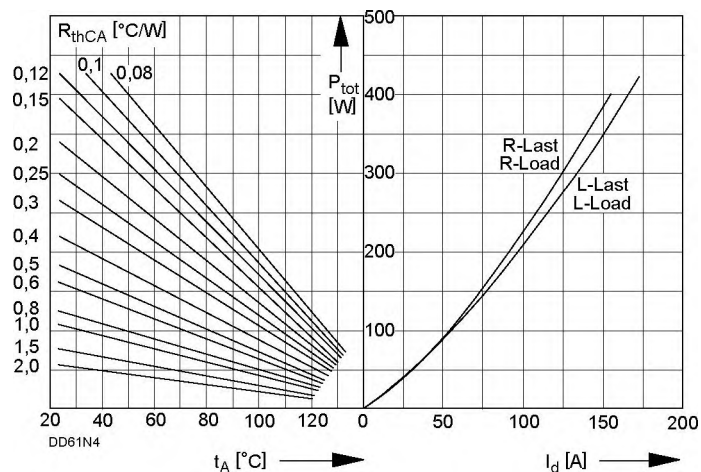
Bild/Fig. 1
Durchlaßverlustleistung P_{FAV} eines Zweiges
Forward power loss P_{FAV} per arm



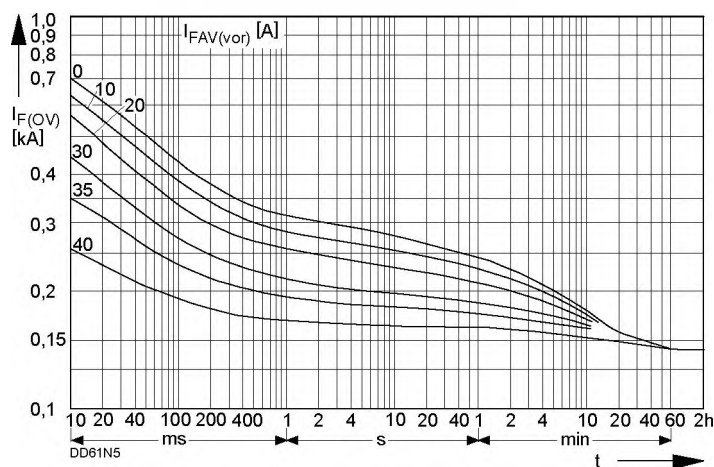
Bild/Fig. 2
Höchstzulässige Gehäusetemperatur t_C in Abhängigkeit vom Zweigstrom
Maximum allowable case temperature t_C versus current per arm



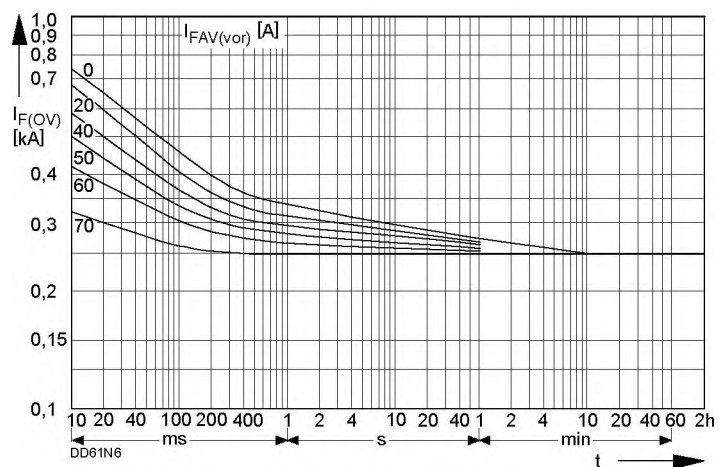
Bild/Fig. 3
B2 - Zweipuls-Brückenschaltung
Höchstzulässiger Ausgangsstrom I_d in Abhängigkeit von der Umgebungs-temperatur t_A .
B2 - Two-pulse bridge circuit
Maximum allowable output current I_d versus ambient temperature t_A .
Parameter: Wärmewiderstand zwischen Powerblock und Umgebung/
thermal resistance case to ambient R_{thCA}



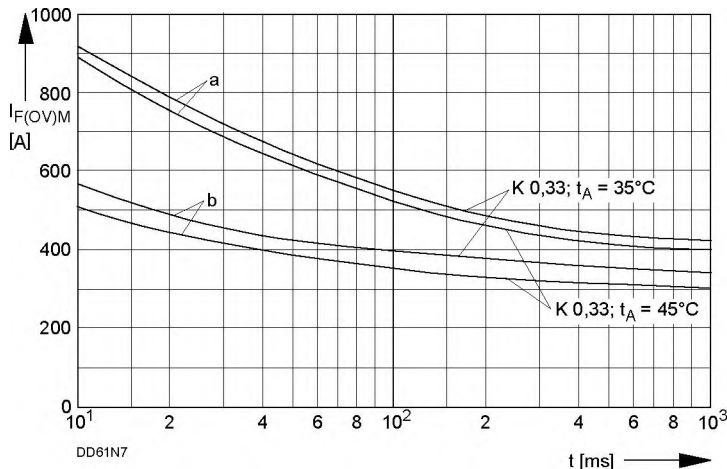
Bild/Fig. 4
B6 - Sechspuls-Brückenschaltung
Höchstzulässiger Ausgangsstrom I_d in Abhängigkeit von der Umgebungs-temperatur t_A .
B6 - Six-pulse bridge circuit
Maximum allowable output current I_d versus ambient temperature t_A .
Parameter: Wärmewiderstand zwischen Powerblock und Umgebung/
thermal resistance case to ambient R_{thCA}



Bild/Fig. 5
B2 - Zweipuls-Brückenschaltung/Two-pulse bridge circuit
Überstrom je Zweig $I_F(OV)$ bei Luftselbstkühlung, $t_A = 45^\circ\text{C}$, Kühlkörper KP 0,33 S.
Overload on-state current per arm $I_F(OV)$ at natural cooling, $t_A = 45^\circ\text{C}$, heatsink type KP 0,33 S.
Parameter: Vorlaststrom je Zweig/pre-load current per arm $I_{FAV(vor)}$



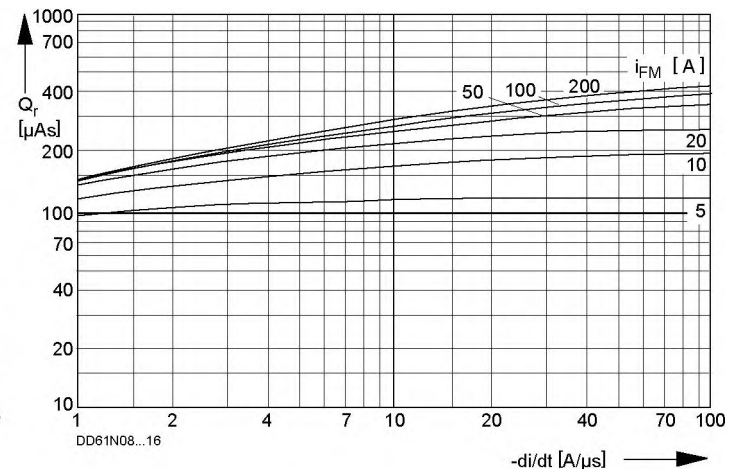
Bild/Fig. 6
B2 - Zweipuls-Brückenschaltung/Two-pulse bridge circuit
Überstrom je Zweig $I_F(OV)$ bei Luftselbstkühlung, $t_A = 45^\circ\text{C}$, Kühlkörper KP 0,33 S.
Overload on-state current per arm $I_F(OV)$ at natural cooling, $t_A = 45^\circ\text{C}$, heatsink type KP 0,33 S.
Parameter: Vorlaststrom je Zweig/pre-load current per arm $I_{FAV(vor)}$



Bild/Fig. 7

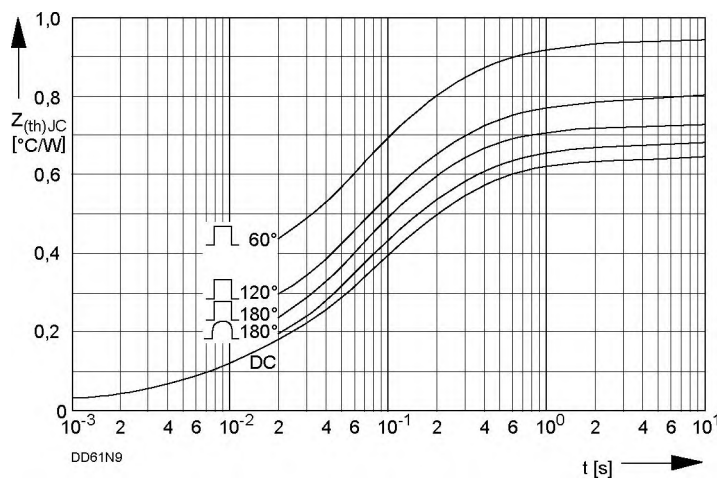
Grenzstrom je Zweig $I_{F(OV)M}$ bei Luftselbstkühlung, $t_A=45^\circ\text{C}$ und verstärkter Luftkühlung, $t_A=35^\circ\text{C}$, Kühlkörper KP 0,33 S, $v_{RM} = 0,8 V_{RRM}$.
Limiting overload on-state current per arm $I_{F(OV)M}$ at natural ($t_A=45^\circ\text{C}$) and forced ($t_A=35^\circ\text{C}$) cooling, heatsink type KP 0,33 S, $v_{RM} = 0,8 V_{RRM}$.
a - Belastung nach Leerlauf/current surge under no-load conditions
b - Belastung nach Betrieb mit Dauergrenzstrom I_{FAVM}

Current surge occurs during operation at limiting mean on-state current rating I_{FAVM}



Bild/Fig. 8

Sperrverzögerungsladung / Recovered charge $Q_r = f(-di/dt)$
 $t_{vj} = t_{vj \max}, v_R \leq 0,5 V_{RRM}, v_{RM} = 0,8 V_{RRM}$
Parameter: Durchlaßstrom / Forward current i_{FM}



Bild/Fig. 9

Transienter innerer Wärmewiderstand je Zweig $Z_{(th)JC}$.
Transient thermal impedance, junction to case, per arm $Z_{(th)JC}$.

Analytische Elemente des transienten Wärmewiderstandes Z_{thJC} pro Zweig für DC
Analytical elements of transient thermal impedance Z_{thJC} per arm for DC

Pos. n	1	2	3	4	5	6	7
R_{thn} [$^\circ\text{C}/\text{W}$]	0,00525	0,0494	0,2405	0,298	0,047		
τ_n [s]	0,000045	0,00149	0,0444	0,174	0,95		

Analytische Funktion / Analytical function:

$$Z_{thJC} = \sum_{n=1}^{n_{\max}} R_{thn} (1 - e^{-\frac{t}{\tau_n}})$$